



بررسی کارایی شاخص‌های پوشش‌گیاهی در تحلیل خشکسالی کشاورزی با استفاده از تکنیک سنجش از دور در حوزه آبخیز کرخه

مهرشید کریمی^{۱*}، کاکا شاهدی^۲، طیب رضیئی^۳، میرحسن میریعقوبزاده^۴

۱. دانشجوی دکتری آبخیزداری، دانشکده منابع طبیعی، دانشگاه علوم کشاورزی و منابع طبیعی ساری، ایران

۲. دانشیار گروه آبخیزداری، دانشکده منابع طبیعی، دانشگاه علوم کشاورزی و منابع طبیعی ساری، ایران

۳. استادیار پژوهشکده حفاظت خاک و آبخیزداری، سازمان تحقیقات، آموزش و تربیت کشاورزی، تهران، ایران

۴. استادیار گروه مرتع و آبخیزداری، دانشگاه ارومیه، ایران

تاریخ دریافت مقاله: ۱۳۹۷/۰۹/۲۵

تاریخ پذیرش مقاله: ۱۳۹۸/۰۶/۲۶

چکیده

خشکسالی، یکی از بلاایای طبیعی است که ممکن است در هر اقلیمی رخ دهد. در دهه‌های اخیر، کشور ایران به طور پیاپی تحت تأثیر خشکسالی‌های شدید و گسترده قرار داشته و آثار زیانباری بر بخش‌های مختلف اقتصادی از جمله بخش کشاورزی، محیط زیست و منابع آب کشور تحمیل کرده است. امروزه برای شناسایی و تحلیل خشکسالی‌های کشاورزی از شاخص‌های پوشش‌گیاهی که به کمک فن آوری سنجش از دور بدست می‌آیند، استفاده می‌شود. بر این اساس، هدف از این پژوهش، بررسی کارایی شاخص‌های پوشش‌گیاهی NDVI، VCI و EVI در شناسایی و تحلیل خشکسالی کشاورزی در حوزه آبخیز کرخه است. برای محاسبه این نمایه‌ها، تصاویر سنجنده مودیس (MOD13A2) ماهواره Terra، محصول طی مدت ۱۷ سال در دوره آماری ۲۰۰۰-۲۰۱۷ استفاده شد. دقت نمایه‌های یاد شده با شاخص ZSI محاسبه شده در ۱۱ ایستگاه باران‌سنجی و تبخیرسنجی واقع در حوضه کرخه برای دوره آماری ۱۳۹۶-۱۳۷۹ مورد ارزیابی قرار گرفت. نتایج نشان داد تغییرات NDVI، VCI و EVI، در ایستگاه‌های مورد مطالعه، در طول دوره آماری تقریباً یکسان است. به‌طوری‌که کمترین مقدار پوشش‌گیاهی در سال ۱۳۷۹ و در ایستگاه دهنو، بیشترین مقدار پوشش‌گیاهی در سال ۱۳۸۰ و در ایستگاه هلیلان-سیمراه مشاهده شد. اما بررسی ZSI نشان داد از سال ۱۳۷۹ تا ۱۳۸۵ اکثر ایستگاه‌ها با خشکسالی مواجه بوده‌اند. به‌طوری‌که در سال‌های ۱۳۸۶، ۱۳۸۷ و ۱۳۸۸ تمامی ایستگاه‌ها با خشکسالی شدید مواجه و شدیدترین خشکسالی در سال ۱۳۸۷ رخ داده و ایستگاه نظرآباد، خشک‌ترین ایستگاه در این سال بوده است. سپس به منظور صحبت‌سنجی نتایج شاخص‌های گیاهی با شاخص ZSI مورد ارزیابی قرار گرفت. رابطه همبستگی پیرسون بین میانگین شاخص‌های پوشش‌گیاهی ZSI، NDVI، EVI و VCI با میانگین ZSI به ترتیب برابر با ۰/۷۲۵، ۰/۷۰۶ و ۰/۷۶۵ است که هر سه شاخص پوشش‌گیاهی با شاخص ZSI در سطح یک درصد معنی دار هستند. همانطور که مشاهده شد با توجه به نتایج، شاخص ZSI تا حدودی نتایج EVI، NDVI و VCI را تأیید می‌کند. اما نتایج این پژوهش، نشان داد که همزمانی وقوع خشکسالی هواشناسی و کشاورزی در تمام سال‌ها وجود ندارد، بنابراین علاوه بر بارش دیگر متغیرهای اقلیمی نیز باید در نظر گرفته شوند.

کلید واژه‌ها: خشکسالی، NDVI، EVI، VCI، حوزه آبخیز کرخه

۱- مقدمه

طرف محققان، ایجاد و پیشنهاد شده است و محققان با بکارگیری این شاخص‌ها، طول مدت خشکسالی، شدت و گستره آن را بررسی نمودند (میشرا و سینگ^۹، از مشهورترین شاخص‌ها می‌توان به شاخص ^{۲۰۱۰}). ^۹(گیبس و پالمر^۵ (۱۹۶۵)، شاخص دهکها (^۸ZSI^۷ ۱۹۶۷) و شاخص بارش استاندارد (^{۱۰}مک‌کی^{۱۰} و همکاران، ۱۹۹۵) اشاره نمود. اکثر شاخص‌هایی که در این زمینه استفاده می‌شوند، بر مبنای معیارهای اقلیمی است و متغیرهایی مانند بارش، دما و رطوبت خاک را بررسی می‌کنند (نیازی و آمار از استفاده دلیل به نمایه‌ها همکاران، ۱۳۹۵). این نقطه‌ای محاسبه، به صورت هواشناسی ایستگاه‌های در می‌شوند و با توجه به تراکم کم ایستگاه‌ها بهویژه محدودیت‌هایی خشکسالی با بررسی خشک، در مناطق مواجه هستند (ابراهیمی خوسفی و همکاران، ۱۳۸۹). با مهیا شدن داده‌های ماهواره‌ای و اخیر، دهه چهار در استفاده گسترده از آن‌ها، امکان بررسی خشکسالی با استفاده از این فناوری بوجود آمده که در نهایت مدل‌سازی برای مؤثرتر و دقیق‌تری می‌توان نتایج مزایای خشکسالی به دست آورد (هیم^{۱۱}، ۲۰۰۲). از هواشناسی روش‌های به نسبت دور از سنجش استفاده جمع‌آوری بالاتر، زمانی تفکیک می‌توان به قدرت پایین‌تر هزینه داده‌های مکانی در مقیاس گسترده و کرد (ویلهایت^{۱۲}، ۲۰۰۰؛ پرویز و همکاران، اشاره به تصاویر پردازش در ۱۳۹۰). بنابراین بالا بردن دقت را آن‌ها کیفیت شاخص‌ها، می‌تواند منظور استخراج

1. Wilhite & Glantz
2. Karl and Rebsame
3. McKee and Doesken
4. Szinell
5. Wu
6. Roswintiarti
7. Shakya and amaguchi
8. Paulo
9. Mishra and Sing
10. McKee
11. Heim
12. Wilhite

خشکسالی، یکی از مهمترین بلایای طبیعی است که اغلب تأثیرات نامطلوب وسیعی بر شرایط اجتماعی و اقتصادی مردم مناطق در معرض خشکسالی می‌گذارد (میراحسنی و همکاران، ۱۳۹۶). تعداد فراوانی این پدیده از نظر درجه شدت، طول مدت، مجموع فضای تحت پوشش، تلفات جانی، خسارات اقتصادی، و اثرات اجتماعی دراز مدت در جامعه، بیشتر از سایر بلایای طبیعی بوده است (خداقلی و همکاران، ۱۳۹۳). همچنین تمایز این پدیده با سایر بلایای طبیعی در این است که برخلاف سایر بلایا، این پدیده به تدریج و در یک دوره زمانی نسبتاً طولانی عمل کرده و اثرات آن ممکن است پس از چند سال و با تأخیر بیشتری نسبت به سایر بلایای طبیعی ظاهر شود. بنابراین چون تعیین دقیق زمان شروع آن کار مشکلی است، آن را همچنین یک پدیده خزنده می‌دانند (پرویز، ۱۳۹۰). از نقطه نظر عوامل موثر در ایجاد خشکسالی، این پدیده را می‌توان به چهار دسته خشکسالی هواشناسی (بر اساس میزان بارش)، هیدرولوژیکی (بر اساس جریان آبهای سطحی و زیرزمینی)، خشکسالی کشاورزی (بر اساس میزان رطوبت خاک) و خشکسالی اقتصادی-اجتماعی در طبقه‌بندی کرد (ویلهیت و گلاترز^۱، ۱۹۸۵). دهه‌های گذشته، آنالیز خشکسالی به صورت کیفی صورت می‌گرفت و کمتر به آنالیز کمی توجه می‌شد (کارل و ربسم^۲، ۱۹۸۴). امروزه از شاخص‌های مختلفی برای بررسی کمی پدیده خشکسالی و همچنین ارزیابی آن در مقیاس‌های زمانی و مکانی مختلف، استفاده یک نقاط هر می‌شود (مساعدی و همکاران، ۱۳۸۷) که خود را دارند (مک‌کی و همکاران^۳؛ ضعف و قوت سینل^۴ و همکاران، ۱۹۹۸؛ وو^۵ و همکاران، ۲۰۰۱؛ راسینتیارتی^۶ و همکاران، ۲۰۱۰؛ شاکیا و یاماگوچی^۷، ۲۰۱۰). شاخص‌های خشکسالی انحراف متغیرهای اقلیمی از شرایط نرمال را در فواصل زمانی (ماه، فصل و سال) بررسی می‌کنند (پائولو^۸ و همکاران، ۲۰۱۲). شاخص‌های خشکسالی بسیاری طی دهه‌های گذشته از

(۲۰۱۵) در تحقیقی به بررسی و ارزیابی خشکسالی با استفاده از تصاویر NOAA و شاخص VCI در هند پرداختند. در این پژوهش، مقادیر شاخص VCI در سال ۲۰۰۲ بعنوان سال خشک و سال ۲۰۰۳ بعنوان سال مرطوب با شاخص‌های هواشناسی SPI و شاخص ناهنجاری بارش^۱ (RAI) مقایسه شد. نتایج نشان داد بین مقادیر شاخص VCI با SPI و RAI همبستگی بالای وجود دارد. آیولیا^۲ و همکاران (۲۰۱۶) در پژوهشی، به بررسی خشکسالی با استفاده از تصاویر مودیس و شاخص گیاهی بارز شده^۳ (EVI) طی دوره آماری ۲۰۱۵-۲۰۰۰ پرداختند. نتایج نشان داد این شاخص به خوبی می‌تواند پاسخ پوشش‌گیاهی به پدیده خشکسالی را نشان دهد. همچنین مقادیر این شاخص با شاخص بارش-تبخیر و تعرق استاندارد شده^۴ (SPEI) مقایسه شده است، نتایج نشان داد که همبستگی خوبی بین هر دو شاخص وجود دارد. وینلر^۵ و همکاران (۲۰۱۷) نیز با استفاده از شاخص‌های SPI و VCI طی دوره آماری ۲۰۰۰-۲۰۱۶ به بررسی خشکسالی هواشناسی و کشاورزی در آفریقا پرداختند. نتایج آنها نشان داد که شدیدترین خشکسالی‌ها در سال‌های ۲۰۱۱ و ۲۰۰۹ در قسمت‌های شرقی آفریقا و در سال‌های ۲۰۰۳، ۲۰۱۵ و ۲۰۱۶ در قسمت‌های جنوبی آفریقا رخ داده است. همچنین نتایج نشان داد که بین شاخص VCI و SPI در مقیاس سه ماهه همبستگی بالای وجود دارد.

1. Rhee
2. Ganesh
3. Vegetation Condition Index(VCI)
4. Palmer Drought Severity Index (PSDI)
5. Funk and Budd,
6. Normalized Difference Vegetation Index (NDVI)
7. Dutta
8. Rainfall Anomaly Index (RAI)
9. Aulia
10. Enhanced Vegetation Index (EVI)
11. Standardized Precipitation Evapotranspiration index (SPEI)
12. Winkler

افزایش دهد و موجب کارایی بیشتر در مدل‌های پیش‌بینی خشکسالی شود (ری^۶، ۲۰۱۰). پژوهش‌های گوناگونی در داخل و خارج ایران کارایی شاخص‌های خشکسالی ماهواره‌ای را اثبات نمودند. جلیلی و همکاران (۱۳۸۷) در استان تهران، جهانبخش اصل و همکاران (۱۳۸۸) در دشت سراب در استان آذربایجان شرقی، شمسی‌پور و همکاران (۱۳۸۹) در منطقه کاشان، باعقيده و همکاران (۱۳۹۰)، رضایی مقدم و همکاران (۱۳۹۱) در حوضه آبخیز دریاچه ارومیه، زمانیان و همکاران (۱۳۹۱) در استان اصفهان، ابراهیم‌زاده و همکاران (۱۳۹۲) در استان کرمانشاه، میرموسوی و کریمی^۷ (۱۳۹۲) در استان کردستان، رضایی بنشه و همکاران (۱۳۹۴) در استان آذربایجان شرقی، سرابی و همکاران (۱۳۹۴) در مراتع شمالی استان گلستان، دستورانی و همکاران (۱۳۹۴) در استان خراسان رضوی، فاضل دهکردی و همکاران (۱۳۹۴) در مراتع استان یزد، و صفری راد و همکاران (۱۳۹۴) در استان اصفهان، و مظفری و نارنگی فرد (۱۳۹۴) در حوضه سد ملاصدرا در استان فارس در تحقیقات خود، به بررسی خشکسالی هواشناسی و کشاورزی پرداختند. نتایج این پژوهش‌ها نشان داد که شاخص‌های ماهواره‌ای می‌تواند جایگزین مناسبی برای شاخص SPI باشد که تنها به کمک متغیر اقلیمی بارش محاسبه می‌شود. گانش^۸ (۲۰۰۷) در پژوهشی، با استفاده از شاخص وضعیت پوشش‌گیاهی^۹ (VCI) به بررسی خشکسالی در ایالت تگزاس پرداخت. همبستگی بین شاخص VCI با شاخص‌های خشکسالی هواشناسی پالمر^{۱۰} (PDSI) و SPI در مقیاس‌های ۳، ۶ و ۹ ماهه مورد بررسی قرار گرفت. نتایج نشان داد که بین مقادیر شاخص VCI و SPI در مقیاس ۶ ماهه همبستگی بالای وجود دارد. فانک و بود^{۱۱} (۲۰۰۹) در پژوهشی، با استفاده از تصاویر ماهواره‌های مودیس و شاخص نرمال شده تفاوت پوشش‌گیاهی^{۱۲} (NDVI)، خشکسالی کشاورزی را در زیماوه بررسی کردند. نتایج نشان داد این شاخص برای پایش دقیق خشکسالی مناسب است. داتا^{۱۳} و همکاران

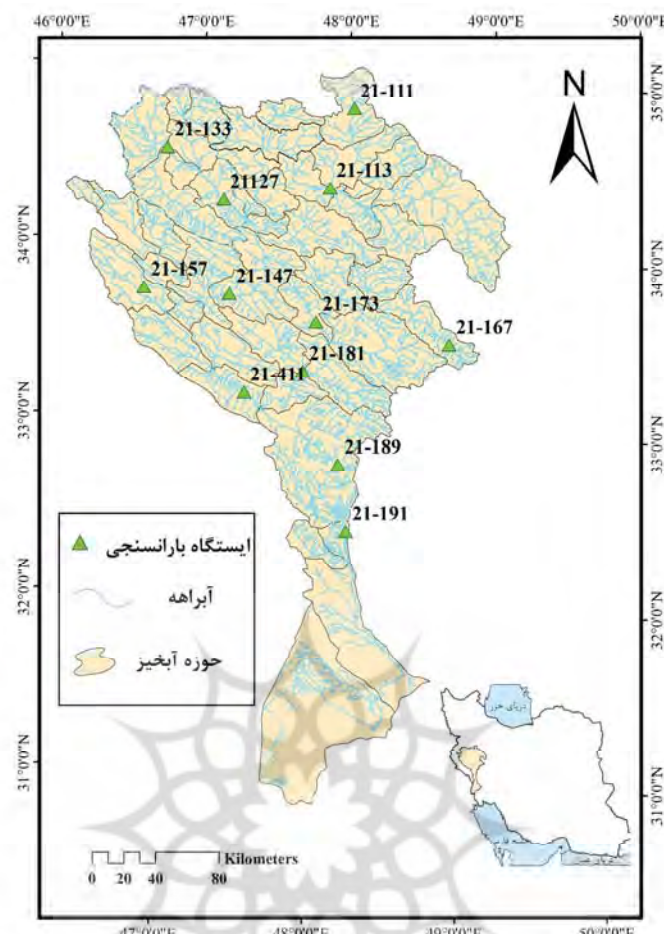
اقتصادی و اجتماعی در بخش بزرگی از کشور که به آب این حوضه وابسته‌اند، شود. بنابراین تحقیق پیش‌رو سعی دارد تا با استفاده از شاخص‌های EVI، NDVI و VCI به بررسی و ارزیابی خشکسالی کشاورزی در حوزه آبخیز کرخه بپردازد. لذا نتایج این تحقیق می‌تواند توانایی این نمایه‌ها را برای شناسایی خشکسالی‌های کشاورزی و امکان استفاده از آن‌ها را برای پایش خشکسالی در منطقه را مشخص کند.

۲- مواد و روش‌ها

۱-۲- منطقه مورد مطالعه

حوضه آبخیز رودخانه کرخه در غرب کشور و در مناطق میانی و جنوب‌غربی رشته کوه‌های زاگرس قرار دارد و این حوضه از چهار زیر‌حوضه اصلی و ۲۸ واحد هیدرولوژیکی تشکیل شده است. این حوضه، از شمال به حوضه رودخانه سیروان، قزل اوزن و قره چای، از مغرب به حوضه رودخانه‌های مرزی ایران و عراق، از مشرق به حوضه رودخانه دز و از جنوب به قسمتی از مرز غربی کشور محدود می‌شود. این حوضه از نظر مختصات جغرافیایی بین 46° تا 49° طول شرقی و 30° تا 35° عرض شمالی واقع شده است. مساحت این حوضه برابر 5278 کیلومتر مربع است. میانگین بارندگی در حوضه کرخه از حدود 150 میلی‌متر در سال در مناطق جنوبی تا فراتر از 1000 میلی‌متر در سال در ارتفاعات شمالی و مناطق شرقی کرخه تغییر می‌نماید (وزارت نیرو جاماب، ۱۳۹۳). میانگین سالانه دمای هوا در حوضه مطالعاتی، از کمتر از پنج درجه در بخش جنوبی متغیر است. از شهرهای مهم 25 درجه در بخش جنوبی متغیر است. از شهرهای داخل این حوضه می‌توان ملایر، نهاوند، تویسرکان، کنگاور، سنقر، کامیاران، کرمانشاه، کرند، خرم‌آباد و سوستنگرد را نام برد (سازمان مدیریت منابع آب ایران، ۱۳۹۷). شکل (۱) موقعیت منطقه و ایستگاه‌های مورد مطالعه در حوزه آبخیز کرخه را نشان می‌دهد.

خشکسالی یک مشکل مهم برای اکثر کشورهای خشک محسوب می‌شود که ایران نیز یکی از این کشورها است (اربابی سبزواری، ۱۳۸۹). کشور ایران در کمربند خشک و نیمه‌خشک واقع شده که حدود 65 درصد از کشور دارای اقلیم خشک و نیمه خشک است. میانگین بارندگی آن در حدود 250 میلی‌متر بوده که تقریباً یک سوم میانگین بارندگی خشکی‌های جهان است. (اربابی سبزواری، ۱۳۸۹؛ مهدوی، ۱۳۸۹). براساس مطالعات طرح جامع آب کشور، ریزش‌های جوی منشأ اصلی منابع آب ایران را تشکیل می‌دهد. از این میزان، حدود 71 درصد آن به صورت تبخیر از دسترس خارج شده و تنها بخشی از آن برای مصارف بخش‌های کشاورزی، صنعت، معدن و شرب برداشت می‌شود. کاهش بارش از یک طرف و پراکنش مکانی نامناسب آن از طرف دیگر موجب شده تا قسمت‌های بسیاری از ایران در ناحیه آب و هوای خشک قرار گیرد. علاوه بر این، خشکسالی‌های به وقوع پیوسته در سال‌های اخیر موجب شده تا امروزه تأمین آب در کشور به عنوان یکی از مهمترین چالش‌ها مطرح باشد. حوضه آبخیز کرخه نیز از جمله ناقاطی است که تحت تأثیر مشکل خشکسالی قرار گرفته است (قاسمی و همکاران، ۱۳۸۷؛ اسلامیان و همکاران، ۱۳۹۱؛ بازیزدی، ۲۰۱۱؛ بازیزدی و همکاران، ۲۰۱۲). این حوضه که یکی از چهار حوضه کلان کشور محسوب می‌شود در غرب کشور و در مناطق میانی و جنوب غربی رشته کوه‌های زاگرس قرار دارد. با توجه به اینکه حوضه کرخه در چندین استان از جمله استان‌های همدان، کرمانشاه، کردستان، ایلام، مرکزی، لرستان و خوزستان قرار گرفته است و رودخانه کرخه پس از رودخانه‌های کارون و دز سومین رودخانه بزرگ ایران از نظر آبدی محسوب می‌شود و از این جهت نقش مهمی در تأمین آب مورد نیاز بخش وسیعی از کشور دارد، به همین دلیل خشکسالی‌های به وقوع پیوسته در این حوضه می‌تواند موجب بروز چالش‌های زیادی در بخش اقتصادی و در نهایت بروز بحران‌های محیطی،



شکل ۱. موقعیت جغرافیایی حوزه آبخیز کرخه و پراکنش ایستگاه‌های باران‌سنجدی

(همگنی من-وینتی، ران تست و رگرسیون) از سال ۱۳۷۹ تا ۱۳۹۶ به عنوان دوره‌ی آماری مشترک برای تمامی ایستگاه‌ها در نظر گرفته شد. در نهایت مقادیر شاخص ZSI محاسبه و همچنین به منظور استخراج و محاسبه شاخص‌های پوشش‌گیاهی EVI، NDVI و VCI، محصول MOD13A2 از تصاویر سنجنده MODIS با تفکیک مکانی ۱ کیلومتر و تفکیک زمانی ۲۰۱۷ تا ۲۰۰۰ روزه برای ماه اردیبهشت سال‌های ۱۶ از سایت USGS دریافت شد. شاخص‌های پوشش‌گیاهی محاسبه شد و در نهایت طبقه‌بندی نقشه‌ها صورت گرفت. جدول (۱) و (۲) به ترتیب مشخصات ایستگاه‌های مورد مطالعه، واقع در حوضه کرخه و خصوصیات محصول MOD13A2 را نشان می‌دهد.

۲-۲- روش تحقیق

در این پژوهش برای بررسی کارایی نمایه‌های NDVI و EVI از نمایه خشکسالی ZSI به عنوان داده مشاهده‌ای زمینی استفاده شد. ابتدا داده‌های بارش سالیانه ایستگاه‌های باران‌سنجدی واقع در حوزه آبخیز کرخه از سازمان مدیریت منابع آب ایران (تمام، ۱۳۹۷) دریافت شد. پس از بررسی منطقه مورد مطالعه و خصوصیات هیدرولوژیکی آن، ایستگاه‌های باران‌سنجدی و تبخیرسنجی منطقه تحقیق مورد ارزیابی قرار گرفت. با بررسی‌های صورت گرفته، تعداد ۱۱ ایستگاه واقع در شاخه‌های اصلی رودخانه کرخه انتخاب شدند. پس از حذف داده‌های پرت و کنترل کیفی و اصلاح و بازسازی داده‌ها، با انجام آزمون‌های آماری

مهشید کریمی و همکاران

جدول ۱. مشخصات ایستگاه‌های مورد مطالعه در حوضه آبخیز کرخه

کد	نام ایستگاه	طول جغرافیایی	عرض جغرافیایی	نوع ایستگاه	سال تأسیس
۲۱-۱۱۱	آغاجانبلاغی	'۰۴°۴۸	'۵۰°۳۴	باران‌سنگی	۱۳۴۶
۲۱-۱۱۳	آران	'۳۲°۴۷	'۲۴°۳۴	باران‌سنگی	۱۳۴۵
۲۱-۱۲۷	پل‌چهر	'۲۶°۴۷	'۲۱°۳۴	باران‌سنگی	۱۳۴۹
۲۱-۱۳۳	دوآب مرک	'۴۷°۴۶	'۳۳°۳۴	تبخیرسنگی	۱۳۴۵
۲۱-۱۴۷	هلیلان- سیمه	'۳۹°۴۶	'۴۴°۳۳	باران‌سنگی	۱۳۴۵
۲۱-۱۵۷	دارتوت	'۳۹°۴۶	'۴۴°۳۳	تبخیرسنگی	۱۳۶۰
۲۱-۱۶۷	دهنو	'۴۷°۴۸	'۳۱°۳۳	تبخیرسنگی	۱۳۴۸
۲۱-۱۷۳	دوآب ویسیان	'۴۷°۴۸	'۴۸°۳۲	باران‌سنگی	۱۳۴۶
۲۱-۱۸۹	پل زال	'۰۵°۴۸	'۴۸°۳۲	باران‌سنگی	۱۳۴۸
۲۱-۱۹۱	پای پل	'۰۹°۴۸	'۲۵°۳۲	تبخیرسنگی	۱۳۳۵
۲۱-۴۱۱	نظرآباد	'۲۵°۴۷	'۱۰°۳۳	باران‌سنگی	۱۳۵۶

منبع: سازمان مدیریت منابع آب ایران (۱۳۹۷)

جدول ۲. خصوصیات محصول MOD13A2

ماهواره	نوع سنجنده	نوع محصول	قدرت تفکیک زمانی	کاربرد
Terra	MODIS	MOD 13A ₂	km ۱	روزه ۱۶ NDVI
Terra	MODIS	MOD 13A ₂	km ۱	روزه ۱۶ EVI
Terra	MODIS	MOD 13A ₂	km ۱	روزه ۱۶ VCI

- شاخص نرمال شده تفاوت پوشش‌گیاهی (NDVI) این نمایه، برای اولین بار توسط تاکر (۱۹۷۹) به عنوان شاخصی برای سلامت پوشش‌گیاهی مطرح شد. در این شاخص، مقدار عددی هر پیکسل بین +۱ و -۱ متغیر است. مقدار این شاخص برای مناطق دارای پوشش‌گیاهی تک (۰/۱) تا متراکم (۰/۸) تغییر می‌کند (تنکابایل^۱ و همکاران، ۲۰۰۲؛ رضایی‌بنشه و همکاران، ۱۳۹۴). مقدار این شاخص، طبق رابطه (۲) محاسبه می‌شود.

شاخص معیار ZSI

ZSI از شاخص‌های اصلی تعیین خشکسالی‌ها و ترسالی‌ها در یک منطقه است. بارندگی، به عنوان عامل اصلی در تعیین این شاخص محسوب می‌شود. ابتدا، سری زمانی داده‌های بارندگی به صورت صعودی مرتب شده و سپس میانگین و انحراف معیار سری زمانی داده‌ها تعیین می‌شود (جاین^۱ و همکاران، ۱۵؛ صالح‌نیا و همکاران، ۲۰۱۷؛ شفیعی و رایینی، ۱۳۹۵) و شاخص Z از رابطه ۱ محاسبه می‌شود.

$$ZSI = \frac{(p_i - \bar{p})}{SD} \quad (1)$$

p_i: بارندگی سال هیدرولوژی i، \bar{p} : میانگین بارندگی در طول آماری، SD: انحراف معیار سری بارندگی است.

1. Jain
2. Thenkabail

جدول (۲)، طبقه بندی وضعیت خشکسالی بر اساس VCI و ZSI را نشان می‌دهد.

رابطه (۴)

$$VCI = 100 * \frac{NDVI_i - NDVI_{min}}{NDVI_{max} - NDVI_{min}}$$

که $NDVI_{Max}$ و $NDVI_{Min}$ به ترتیب میانگین حداقل بلندمدت، i مقدار NDVI در گام زمانی آ برای هر پیکسل است.

جدول ۲. طبقه بندی وضعیت خشکسالی بر اساس VCI و ZSI

VCI	ZSI	وضعیت خشکسالی
$10 < VCI <$	$-2 < ZSI <$	خشکسالی بسیار شدید
$20 < VCI < 10$	$-1/5 < ZSI < -2$	خشکسالی شدید
$35 < VCI < 20$	$-1 < ZSI < -1/5$	خشکسالی متوسط
$35 VCI \geq$	$-1 ZSI \geq$	بدون خشکسالی

منبع: وینلر و همکاران (۲۰۱۷)

۳- نتایج

با توجه اینکه دوره غالب رشد پوشش سبز گیاهی در منطقه، از ابتدای اسفندماه تا پایان مردادماه و اوج پوشش گیاهی مربوط به اوخر اردیبهشت ماه است، تصاویر ماه می از سال ۲۰۰۰ تا ۲۰۱۷ جهت محاسبه شاخص‌های VCI، NDVI و EVI انتخاب شدند. بعد از محاسبه شاخص‌های مذکور برای کل دوره آماری، به دلیل تغییرات نامحسوس پوشش گیاهی در سال‌های مختلف، از بین سال‌های آماری مورد مطالعه تنها سال‌های ۱۳۸۰، ۱۳۸۴، ۱۳۸۸، ۱۳۹۲ و ۱۳۹۶ که بیشترین تغییرات را نشان دادند، در قسمت نتایج، مورد بررسی و تفسیر قرار گرفت. بعد از محاسبه NDVI و EVI، تغییرات پوشش گیاهی در چهار کلاس پوشش گیاهی متراکم، نیمه متراکم و فاقد پوشش گیاهی دسته‌بندی و مورد بررسی قرار گرفت. بررسی نقشه طبقات پوشش گیاهی بر اساس NDVI و EVI نشان داد در طی دوره آماری مورد مطالعه، در کلاس‌های مختلف پوشش گیاهی تغییرات زیادی رخ داده است. در سال ۱۳۸۰، کلاس پوشش گیاهی متراکم

رابطه (۲)

$$NDVI = (\rho_{NIR} - \rho_{RED}) / (\rho_{NIR} + \rho_{RED})$$

در رابطه (۲) NIR، انعکاس نور در باندهای مادون

قرمز و RED انعکاس نور در باند قرمز است.

شاخص گیاهی باز شده (EVI)

شاخص گیاهی باز شده، به منظور بهبود توسعه یافته است. این شاخص، علاوه بر باندهای مادون قرمز و قرمز، با بکارگیری باند آبی، موجب کاهش اثر اتمسفر شامل پراکنش ذرات معلق و تصحیح سیگنال خاک پس زمینه می‌شود. این شاخص از رابطه (۳) به دست می‌آید (هیوت و همکاران، ۱۹۹۷). جدول (۱) طبقه بندی وضعیت خشکسالی بر اساس NDVI و EVI را نشان می‌دهد.

رابطه (۳)

$$EVI = G \frac{(\rho_{NIR} - \rho_{RED})}{(L + \rho_{NIR} + C_1 \rho_{RED} - C_2 \rho_{Blue})}$$

در رابطه بالا $G=2.5$, $C_1=6$, $L=1$, $C_2=6$ است.

جدول ۱. طبقه بندی وضعیت خشکسالی بر اساس EVI و NDVI

EVI و NDVI	وضعیت خشکسالی
$0.05 < EVI < NDVI$	فاقد پوشش گیاهی
$0.1 < EVI < 0.05$	پوشش گیاهی تنک
$0.1 < EVI < NDVI$	پوشش گیاهی نیمه متراکم
$1 < EVI < NDVI$	پوشش گیاهی متراکم

منبع: حمزه و همکاران (۱۳۹۶)

شاخص وضعیت پوشش گیاهی (VCI)

این شاخص، به وسیله دامنه‌ای از مقادیر NDVI بلندمدت برآورد شده و نرمال می‌شود. دامنه این شاخص، از ۰ تا ۱۰۰ متغیر است. مقادیر کم، شرایط تنفس گیاهی، مقادیر میانه شرایط متوسط و مقادیر بالا شرایط بهینه را نشان می‌دهد (دماؤندی و همکاران، ۱۳۹۵). این شاخص، طبق رابطه (۴) محاسبه می‌شود.

براساس EVI و NDVI به ترتیب ۱/۱٪ و ۰٪، کلاس پوشش‌گیاهی نیمه متراکم ۱۷/۱٪ و ۱٪ و مساحت کلاس پوشش‌گیاهی تنک ۴۰٪ و ۴٪ از مساحت کل حوضه را به خود اختصاص داده است. در سال ۱۳۸۴، براساس هر دو شاخص، سطح کلاس پوشش‌گیاهی متراکم (به ترتیب ۰/۰٪ و ۰٪) و سطح کلاس پوشش‌گیاهی نیمه متراکم (به ترتیب برابر با ۰/۹٪ و ۰٪) تا حدی کاهش یافته و به مساحت کلاس پوشش‌گیاهی تنک به مقدار قابل توجهی (به ترتیب برابر با ۵۲/۸٪ و ۵۵/۹٪) براساس هر دو شاخص اضافه شده است. در سال ۱۳۸۸، نقشه حاصله از هر دو شاخص، فاقد کلاس پوشش‌گیاهی متراکم بود و کلاس پوشش‌گیاهی نیمه متراکم به ترتیب برای هر دو شاخص برابر با ۰/۹٪ و ۱٪ و کلاس پوشش‌گیاهی تنک ۵۴/۵٪ از مساحت کل حوضه را در برگرفته است. در سال ۱۳۹۲، سطح کلاس پوشش‌گیاهی متراکم براساس هر دو شاخص (به ترتیب ۷/۰٪ و ۰٪)، مساحت کلاس پوشش‌گیاهی نیمه متراکم (به ترتیب ۰/۰٪ و ۱/۲٪) و مساحت کلاس پوشش‌گیاهی تنک (به ترتیب ۵۶/۲٪ و ۶۳/۴٪) نسبت به سال ۱۳۸۸ افزایش یافته است. در نهایت در سال ۱۳۹۶ کلاس‌های پوشش‌گیاهی نسبت به سال ۱۳۹۲ تغییر چندانی نداشته است، به ترتیب براساس هر دو شاخص کلاس پوشش‌گیاهی متراکم برابر با ۷/۰٪ و ۱٪ و کلاس پوشش‌گیاهی تنک ۵۵/۷٪ و ۶۰/۵٪ از مساحت کل حوضه را به خود اختصاص دادند.

بعد از اعمال VCI جهت ارزیابی، نقشه‌ها به طبقات خشکسالی خیلی شدید، خشکسالی شدید، متوسط و بدون خشکسالی تقسیم شدند. در سال ۱۳۸۰، کلاسه خشکسالی خیلی شدید، شدید، متوسط و بدون خشکسالی به ترتیب ۱۳/۳۵٪، ۵/۹٪ و ۱۱/۴۹٪ و ۶۹/۲۰٪ از مساحت کل حوضه را به خود اختصاص داده است. در سال ۱۳۸۴، خشکسالی شدت یافته و هر سه کلاس خشکسالی با افزایش ۲۴٪،

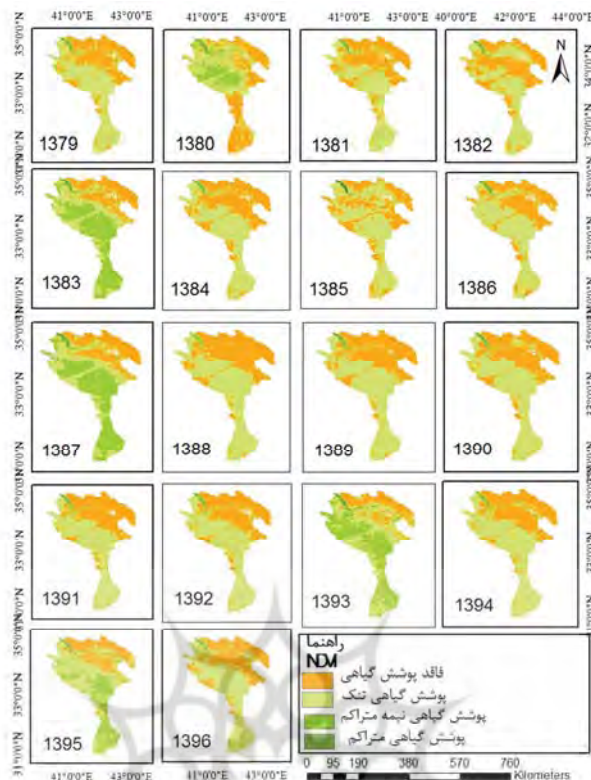
کلاس بدون خشکسالی (۲۲/۴٪) نیز کاسته شده است. در سال ۱۳۸۸، خشکسالی شدت گرفته است، به طوری که از مساحت سه کلاس خشکسالی شدید، متوسط و بدون خشکسالی کاسته و کلاس خشکسالی خیلی شدید افزایش یافته است. در سال ۱۳۹۲، از شدت خشکسالی، کاسته (مساحت کلاس خشکسالی خیلی شدید ۲۶/۵٪) و به مساحت کلاس‌های خشکسالی شدید و متوسط (۳۰/۰٪ و ۲۳/۳٪) افزوده شده است. در نهایت در سال ۱۳۹۶، مساحت سه کلاس خشکسالی شدید، متوسط و بدون خشکسالی، افزایش یافته (۳۶/۳٪، ۲۷/۳٪ و ۲۵/۶٪) و کلاس خشکسالی خیلی شدید (۱۱/۴٪) کاهش پیدا کرده است (شکل ۲، ۳ و ۴ و جدول ۳ و ۵).

در ادامه، به منظور ارزیابی نتایج این پژوهش، شاخص ZSI با استفاده از داده‌های بارش ۱۱ ایستگاه هواشناسی، واقع در حوضه کرخه، در طول دوره آماری VCI، NDVI، EVI و مورد مطالعه محاسبه شد. مقادیر ZSI در این ایستگاه‌ها، از روی تصاویر استخراج شد. براساس نتایج ZSI، از سال ۱۳۷۹ تا ۱۳۸۵ ایستگاه‌های پل چهر، دواآب مرگ، دارتوت و دهنو شرایط نزدیک به نرمال را نشان دادند. در سال‌های ۱۳۷۹ و ۱۳۸۰ ایستگاه‌های آغاچانبلاغی و آران، در سال ۱۳۸۱ ایستگاه‌های هلیلان-سیمره، پای پل، پل زال و نظرآباد و در سال ۱۳۸۴ ایستگاه دواآب ویسان با خشکسالی و در سال ۱۳۸۰ ایستگاه پل زال، در سال ۱۳۸۲ ایستگاه آران و در سال ۱۳۸۵ ایستگاه‌های دهنو و نظرآباد با ترسالی مواجه بوده‌اند. در اکثر ایستگاه‌ها خشکسالی‌های شدید در سال‌های ۱۳۸۶، ۱۳۸۷ و ۱۳۸۸ و رخ داده است. از سال ۱۳۸۹ تا انتهای دوره، اکثر ایستگاه‌ها با شرایط نسبتاً نرمال مواجه بوده‌اند (شکل ۵). براساس ایستگاه‌های مورد مطالعه، میزان پوشش‌گیاهی با توجه به عدد شاخص، با تغییراتی همراه بوده است.

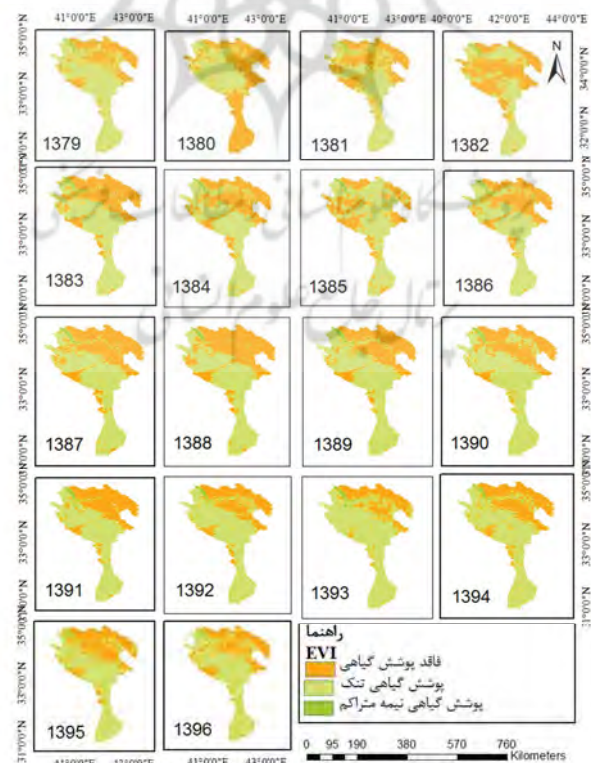
براساس EVI و NDVI به ترتیب ۱/۱٪ و ۰٪، کلاس پوشش‌گیاهی نیمه متراکم ۱۷/۱٪ و ۱٪ و مساحت کلاس پوشش‌گیاهی تنک ۴۰٪ و ۴٪ از مساحت کل حوضه را به خود اختصاص داده است. در سال ۱۳۸۴، براساس هر دو شاخص، سطح کلاس پوشش‌گیاهی متراکم (به ترتیب ۰/۰٪ و ۰٪) و سطح کلاس پوشش‌گیاهی نیمه متراکم (به ترتیب برابر با ۰/۹٪ و ۰٪) تا حدی کاهش یافته و به مساحت کلاس پوشش‌گیاهی تنک به مقدار قابل توجهی (به ترتیب برابر با ۵۲/۸٪ و ۵۵/۹٪) براساس هر دو شاخص اضافه شده است. در سال ۱۳۸۸، نقشه حاصله از هر دو شاخص، فاقد کلاس پوشش‌گیاهی متراکم بود و کلاس پوشش‌گیاهی نیمه متراکم به ترتیب برای هر دو شاخص برابر با ۰/۹٪ و ۱٪ و کلاس پوشش‌گیاهی تنک ۵۴/۵٪ از مساحت کل حوضه را در برگرفته است. در سال ۱۳۹۲، سطح کلاس پوشش‌گیاهی متراکم براساس هر دو شاخص (به ترتیب ۷/۰٪ و ۰٪)، مساحت کلاس پوشش‌گیاهی نیمه متراکم (به ترتیب ۰/۰٪ و ۱/۲٪) و مساحت کلاس پوشش‌گیاهی تنک (به ترتیب ۵۶/۲٪ و ۶۳/۴٪) نسبت به سال ۱۳۸۸ افزایش یافته است. در نهایت در سال ۱۳۹۶ کلاس‌های پوشش‌گیاهی نسبت به سال ۱۳۹۲ تغییر چندانی نداشته است، به ترتیب براساس هر دو شاخص کلاس پوشش‌گیاهی متراکم برابر با ۷/۰٪ و ۱٪ و کلاس پوشش‌گیاهی نیمه متراکم ۵۵/۷٪ و ۶۰/۵٪ از مساحت کل حوضه را به خود اختصاص دادند.

سنجدش از دور و GIS ایران
سال یازدهم ■ شماره چهارم ■ زمستان ۱۳۹۸

بررسی کارایی شاخص‌های پوشش گیاهی در تحلیل خشکسالی کشاورزی ...



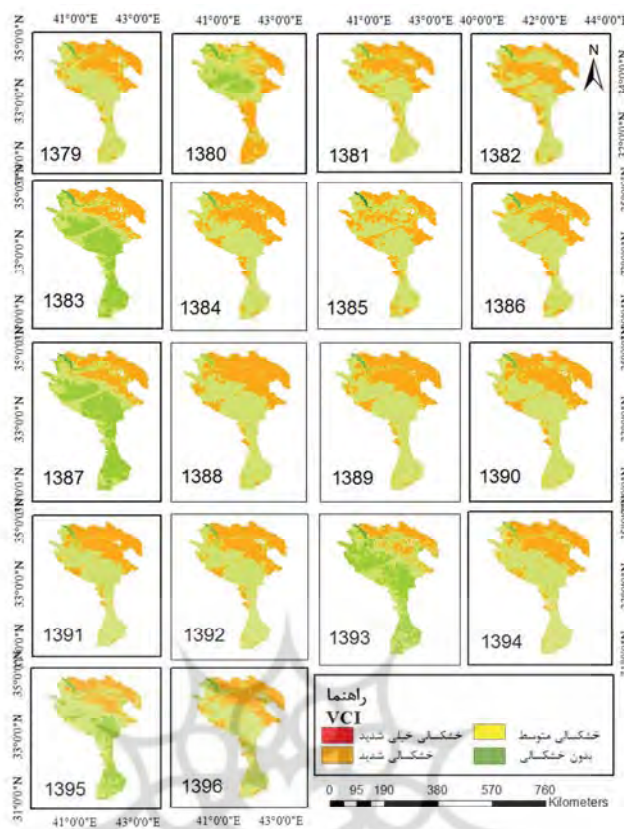
شکل ۲. طبقات پوشش گیاهی براساس شاخص NDVI در دوره آماری ۱۳۹۶-۱۳۷۹



شکل ۳. طبقات پوشش گیاهی براساس شاخص EVI در دوره آماری ۱۳۹۶-۱۳۷۹

سنگش از دور و GIS ایران
سال یازدهم = شماره چهارم = زمستان ۱۳۹۸

مهشید کریمی و همکاران



شکل ۴. طبقات پوشش گیاهی براساس شاخص VCI در دوره آماری ۱۳۹۶-۱۳۷۹

جدول ۳. مساحت طبقات پوشش گیاهی براساس NDVI در حوزه آبخیز کرخه

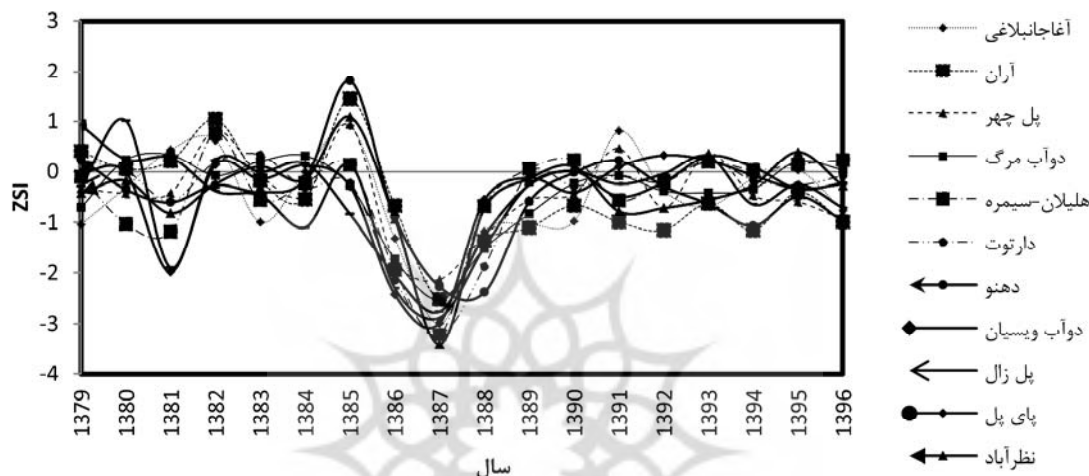
سال	طبقه	پوشش گیاهی متراکم (%)	پوشش گیاهی نیمه متراکم (%)	پوشش گیاهی تنک (%)	فاقد پوشش گیاهی (%)
۲۰۰۱	۱/۱	۱۷/۱	۴۰	۵۲/۸	۴۱/۹
۲۰۰۵	۰/۷۹	۰/۷۱	۵۲/۸	۴۶	۴۶
۲۰۰۹	-	۰/۹	۵۴/۵	۴۴/۶	۴۲/۲
۲۰۱۳	۰/۷	۰/۹	۵۶/۲	۴۲/۸	۴۲/۲
۲۰۱۷	۰/۷۴	۰/۷۶	۵۵/۷		

جدول ۴. مساحت طبقات پوشش گیاهی براساس EVI در حوزه آبخیز کرخه

سال	طبقه	پوشش گیاهی متراکم (%)	پوشش گیاهی نیمه متراکم (%)	پوشش گیاهی تنک (%)	فاقد پوشش گیاهی (%)
۲۰۰۱	-	۱	۳۹/۴	۵۹/۶	۴۲/۹
۲۰۰۵	-	۰/۹	۵۵/۹	۴۵	۴۵
۲۰۰۹	-	۱	۵۴	۶۳/۴	۳۵/۴
۲۰۱۳	-	۱/۲	۶۰/۵	۳۸/۵	۳۸/۵

جدول ۵. مساحت طبقات خشکسالی براساس VCI در حوضه آبخیز کرخه

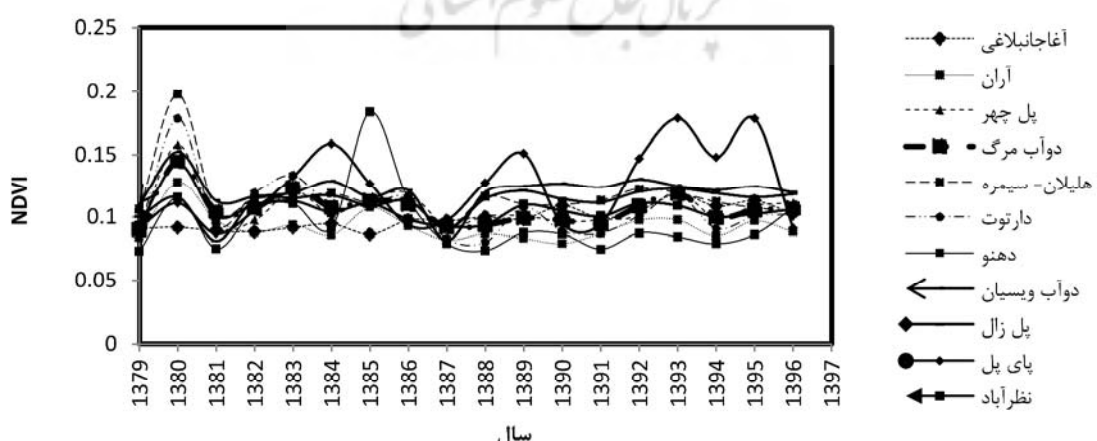
طبقه سال	خشکسالی خیلی شدید (%)	خشکسالی شدید (%)	خشکسالی متوسط (%)	بدون خشکسالی (%)
۲۰۰۱	۵/۹۷	۱۳/۳۲	۱۱/۴۹	۶۹/۲۰
۲۰۰۵	۲۴	۳۰/۳۳	۲۳/۱۹	۲۲/۴
۲۰۰۹	۳۲/۰۶	۲۷/۴۷	۱۹/۴۶	۲۱/۰۱
۲۰۱۳	۲۶/۵۴	۳۰/۰۲	۲۳/۳۴	۲۰/۱
۲۰۱۷	۱۱/۴۶	۳۶/۳۴	۲۷/۲۰	۲۵/۶۲



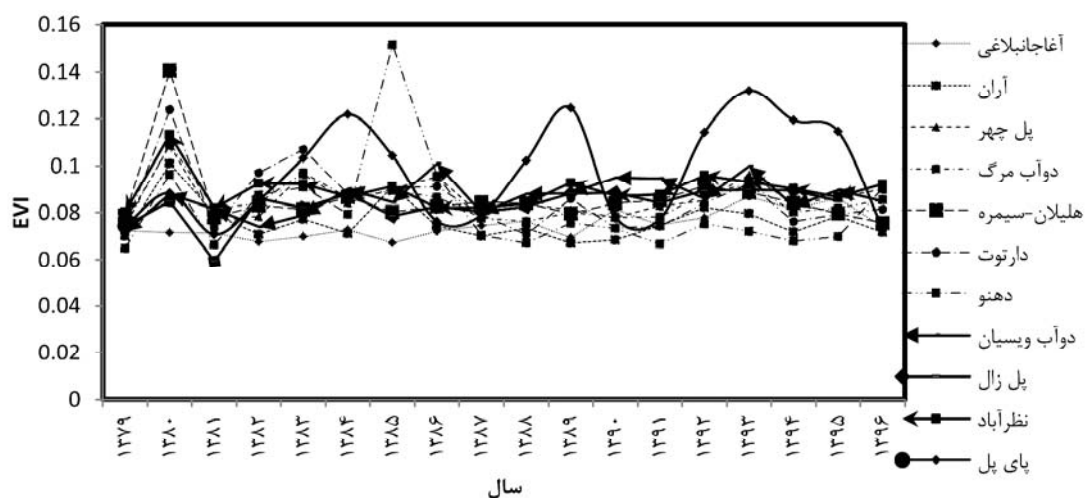
شکل ۵. مقادیر ZSI محاسبه شده در ایستگاه‌های مورد مطالعه طی دوره آماری (۱۳۹۶-۱۳۷۹)

تahدی با افزایش پوشش‌گیاهی مواجه بوده‌اند. در نهایت، در سال‌های ۱۳۸۱، ۱۳۸۷، ۱۳۹۱، ۱۳۹۴، ۱۳۹۱ و ۱۳۹۶ مقدار شاخص، کاهش یافته است که نشان‌دهنده کاهش پوشش‌گیاهی و قوع خشکسالی در منطقه مورد مطالعه است (شکل ۶، ۷ و ۸).

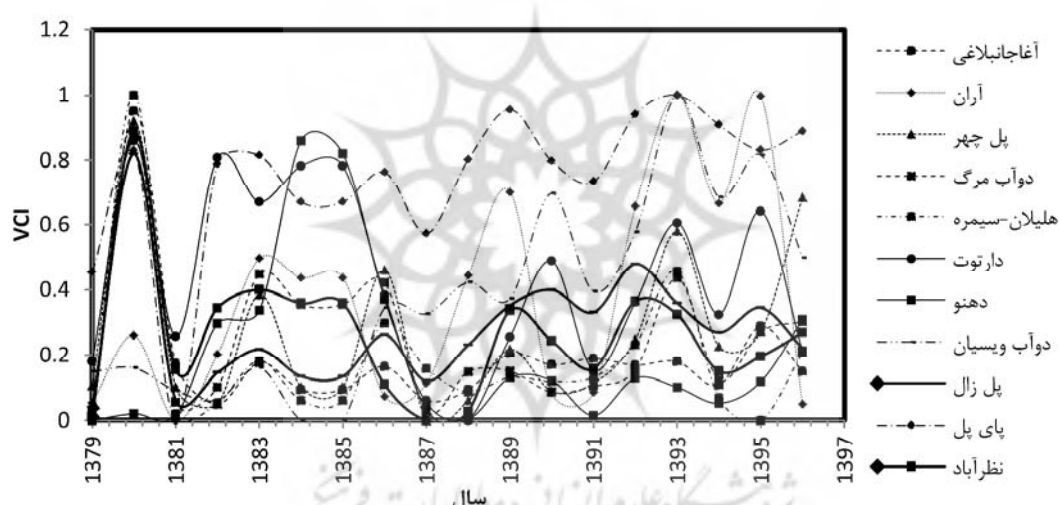
در سال ۱۳۸۰، در بیشتر ایستگاه‌ها میزان پوشش‌گیاهی افزایش قابل توجهی داشته است. در سال‌های ۱۳۸۲-۱۳۸۲، ۱۳۸۸، ۱۳۸۵، ۱۳۸۶-۱۳۸۶، ۱۳۹۰، ۱۳۹۱، ۱۳۹۳، ۱۳۹۵ و ۱۳۹۲ اکثر ایستگاه‌ها نسبت به سال‌های قبل و بعد، در طول بازه زمانی مورد مطالعه



شکل ۶. مقادیر NDVI محاسبه شده در ایستگاه‌های مورد مطالعه طی دوره آماری (۱۳۹۶-۱۳۷۹)



شکل ۷. مقادیر EVI محاسبه شده در ایستگاه‌های مورد مطالعه طی دوره آماری (۱۳۹۶-۱۳۷۹)

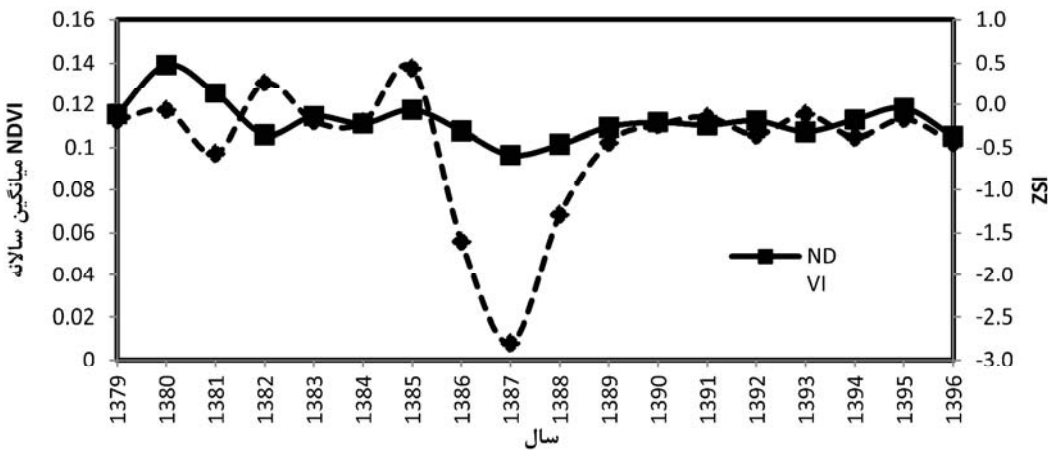


شکل ۸. مقادیر VCI محاسبه شده در ایستگاه‌های مورد مطالعه طی دوره آماری (۱۳۹۶-۱۳۷۹)

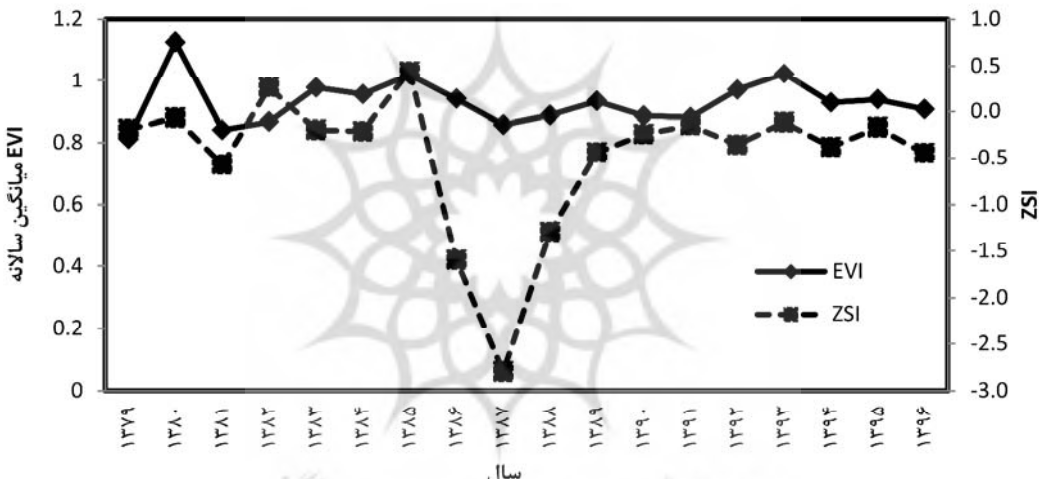
بررسی رابطه‌ی بین شاخص‌های ZSI با NDVI و EVI و VCI

رابطه همبستگی پیرسون، بین میانگی شاخص‌های پوشش گیاهی NDVI، EVI و VCI با میانگین ZSI، به ترتیب برابر با 0.706 , 0.725 و 0.765 است که هر سه شاخص پوشش گیاهی با شاخص ZSI در سطح یک درصد، معنی‌دار هستند (جدول ۶).

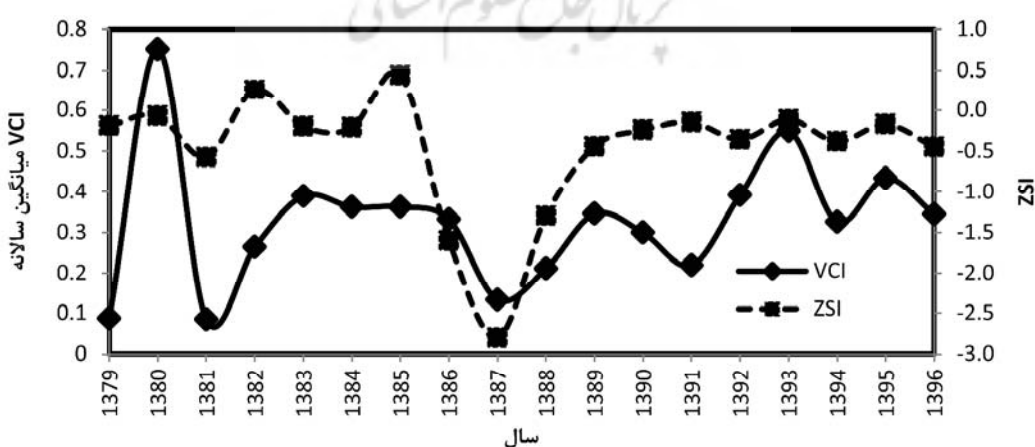
بررسی میانگین شاخص‌های ZSI با NDVI، EVI و VCI نشان داد تغییرات هر سه شاخص، در اکثر سال‌های آماری تقریباً یکسان است، اما همزمانی خشکسالی هواشناسی و کشاورزی برای تمامی سال‌ها وجود ندارد (شکل ۹، ۱۰ و ۱۱).



شکل ۹. تغییرات شاخص NDVI و ZSI در طول دوره آماری



شکل ۱۰. تغییرات شاخص EVI و ZSI در طول دوره آماری



شکل ۱۱. تغییرات شاخص ZSI و VCI در طول دوره آماری

رضایی‌بنفسه و همکاران (۱۳۹۲) و رضایی مقدم و همکاران (۱۳۹۱) مطابقت دارد. از سال ۱۳۸۹ تا انتهای دوره در اکثر ایستگاه‌ها شرایط نسبتاً نرمال مشاهده شد. بررسی نتایج مذکور نشان داد نتایج به دست آمده از شاخص‌های پوشش‌گیاهی تا حدودی با نتایج به دست آمده از ZSI که به ترتیب نمودی از خشکسالی کشاورزی و هواشناسی هستند، متفاوت است که این یافته با نتایج مؤذن‌زاده و همکاران (۱۳۹۱) کاملاً مطابقت دارد. با توجه به این موضوع که پوشش‌گیاهی، همواره متأثر از اقلیم و پارامترهای مؤثر بر آن بوده است (سرایی و همکاران، ۱۳۹۴)، اما میزان ارتباط و فاصله زمانی بین خشکسالی هواشناسی و خشکسالی کشاورزی بسیار پیچیده است که علاوه بر بارش به دما، ارتفاع، توپوگرافی، نوع پوشش‌گیاهی، نوع بافت خاک و میزان رطوبت ذخیره‌ای در آن منطقه بستگی دارد (مؤذن‌زاده و همکاران، ۱۳۹۱). همانطور که نتایج این پژوهش نیز نشان داد همزمانی وقوع خشکسالی هواشناسی و خشکسالی کشاورزی در تمام سال‌ها، وجود ندارد که این یافته با نتایج فاتحی فرج و حیدریان (۱۳۹۲) و صفری‌شاد و همکاران (۱۳۹۴) کاملاً مطابقت دارد. از طرفی در مناطقی با اقلیم خشک و نیمه خشک، ممکن است چندین سال مقدار بارش در حد نرمال نباشد. ولی احتمال دارد جامعه‌های گیاهی و جانوری آن منطقه با شرایط به وجود آمده، سازگاری پیدا کرده و عواقب ناشی از خشکسالی چندان محسوس نباشد. در صورتی که در مناطق مرطوب حتی بروز فواصل کوتاه بین بارش، ممکن است مسائل جدی ناشی از کم آبی را به زودی مهیا کند. به طور کلی نباید انتظار داشت که با افزایش بارندگی، وضعیت پوشش‌گیاهی هم نرمال شود و یا با کاهش بارندگی، خشکسالی کشاورزی رخ دهد (صفری‌شاد و همکاران، ۱۳۹۴).

تحقیق حاضر با هدف بررسی کارایی شاخص‌های پوشش‌گیاهی و میزان ارتباط میان شاخص‌های پوشش‌گیاهی با متغیر اقلیمی انجام گرفت. همانطور که مشاهده شد با توجه به نتایج، شاخص ZSI تا حدودی

جدول ۶. نتایج حاصل از همبستگی پیرسون بین شاخص‌های NDVI و ZSI

متغیرها	ضریب همبستگی (r)
NDVI و ZSI	۰/۷۰۶
EVI و ZSI	۰/۷۲۵
VCI و ZSI	۰/۷۶۵

۴-بحث و نتیجه‌گیری

در این تحقیق، وضعیت خشکسالی کشاورزی بر اساس EVI، NDVI و VCI، طی دوره آماری ۱۳۷۹ تا ۱۳۹۶ در حوزه آبخیز کرخه بررسی و تجزیه و تحلیل شد. نتایج حاصل از بررسی نقشه‌های پوشش‌گیاهی نشان داد براساس NDVI، در سال ۱۳۸۴، طبقه پوشش‌گیاهی پوشش‌گیاهی متراکم (۰/۷۹٪) طبقه پوشش‌گیاهی نیمه متراکم (۱۷/۱٪) در سال ۱۳۸۰، پوشش‌گیاهی تنک (۰/۵۶٪) در سال ۱۳۹۲، براساس EVI طبقه پوشش‌گیاهی نیمه متراکم (۱/۱۲٪) در سال‌های ۱۳۸۴ و ۱۳۹۲ و پوشش‌گیاهی تنک (۰/۶۳٪) در سال ۱۳۹۲ و طبقه VCI طبقه خشکسالی خیلی شدید (۰/۳۲٪) در سال ۱۳۸۸، طبقات خشکسالی شدید و متوسط (به ترتیب ۳۶/۳۴٪ و ۲۷/۳۰٪) در سال ۱۳۹۶ و طبقه بدون خشکسالی (۰/۶۹٪) بیشترین درصد مساحت را به خود اختصاص داده اند. براساس مقادیر NDVI و VCI در ایستگاه‌های مورد مطالعه، تغییرات EVI، NDVI و VCI در ایستگاه‌های مورد مطالعه، در طول دوره آماری تقریباً یکسان است. به طوریکه کمترین مقدار پوشش‌گیاهی در استگاه دهنو در سال ۱۳۷۹ و بیشترین مقدار پوشش‌گیاهی در ایستگاه هلیلان-سیمره و در سال ۱۳۸۰ مشاهده شد. اما بررسی ZSI نشان داد از سال ۱۳۷۹ تا ۱۳۸۵، اکثر ایستگاه‌ها با خشکسالی مواجه بوده‌اند. به طوریکه در سال‌های ۱۳۸۶، ۱۳۸۷ و ۱۳۸۸ تمامی ایستگاه‌ها با خشکسالی شدید مواجه شده و شدیدترین خشکسالی در سال ۱۳۸۷ رخ داده است. ایستگاه نظرآباد، خشک‌ترین ایستگاه در این سال بوده است که این یافته با نتایج میرموسوی و کریمی (۱۳۹۲)،

نتایج از فناوری سنجش از دور در ارزیابی خشکسالی هواشناسی (مطالعه موردی: حوضه‌ی آبریزسفیدرود)، مجله جغرافیا و توسعه، سال ۹، شماره ۲۲۵، ۱۴۷-۱۶۴، صص.

حمزه، س.، فراهانی، ز.، مهدوی، ش.، چترآبگون، ا. و غلامنیا، م.، ۱۳۹۶، پایش زمانی و مکانی خشکسالی کشاورزی با استفاده از داده‌های سنجش از دور مورد مطالعه: استان مرکزی ایران، نشریه تحلیل فضایی مخاطرات محیطی، سال چهارم، شماره سوم، صص. ۷۰-۵۳.

جلیلی، ش.، مرید، س. و ضیائیان فیروزآبادی، پ.، ۱۳۸۷، مقایسه عملکرد شاخص‌های ماهواره‌ای و هواشناسی در پایش خشکسالی، مجله تحقیقات آب و خاک ایران، سال ۳۹، شماره ۱، صص. ۱۳۹-۱۴۹.

جهانبخش اصل، س.، ساری صراف، ب.، خورشیددوست، م. و رستم‌زاده، م.، ۱۳۸۸، ارزیابی تغییرات پوشش‌گیاهی دشت سراب و تحلیل دو دوره خشکسالی و تراسالی، فصلنامه علمی-پژوهشی انجمن جغرافیای ایران، سال ۷، شماره ۲۳، صص. ۱۱۲-۱۳۲.

خداقلی، م.، ۱۳۹۳، تحلیل روند گذشته و پیش‌بینی آینده خشکسالی در استان اصفهان، نشریه علوم آب و خاک-علوم و فنون کشاورزی و منابع طبیعی، دانشگاه صنعتی اصفهان، سال ۱۸، شماره ۶۷، صص. ۳۶۷-۳۷۹.

دستورانی، م.، ولی، ا.ا.، سپهر، ا. و کمکی، ب.ج.، ۱۳۹۴، بررسی خشکسالی بر روی پوشش‌گیاهی با استفاده از سنجنده مودیس در خراسان رضوی، نشریه مهندسی اکوسیستم بیابان، سال چهارم، شماره ۷، صص. ۸-۱.

رضایی بنشه، م.، رضایی ع. و فریدپور، م.، ۱۳۹۴، تحلیل خشکسالی کشاورزی استان آذربایجان شرقی با تأکید بر سنجش از دور و شاخص

نتایج EVI، NDVI و VCI را تأیید می‌کند. اما نتایج این پژوهش، نشان داد همزمانی وقوع خشکسالی هواشناسی و کشاورزی در تمام سال‌ها وجود ندارد، بنابراین لازم است علاوه بر بارش، تأثیر متغیرهای همچون دما، ارتفاع، توپوگرافی، نوع پوشش‌گیاهی، نوع بافت خاک و میزان رطوبت ذخیره‌ای در آن منطقه نیز برای بیان وضعیت خشکسالی هواشناسی و کشاورزی در مطالعات آتی مورد توجه قرار گیرد.

۵- منابع

ابراهیمی خوسفی، م.، درویش زاده، ر.، مکان، ا.ا. و عاشورلو، د.، ۱۳۸۹، بررسی خشکسالی در مناطق خشک مرکزی ایران با استفاده از تصاویر ماهواره‌ای با تکیه بر شاخص‌های گیاهی (مطالعه موردی: شیرکوه یزد)، مجله علوم محیطی، سال ۷، شماره چهارم، صص. ۷۲-۵۹.

اربابی سیزوواری، ا.، ۱۳۸۹، تحلیل اثر خشکسالی Z نرمال بارندگی در سامانه‌های سیستم اطلاعات جغرافیایی در منطقه کاشان، فصلنامه جغرافیای طبیعی، سال سوم، شماره ۷، صص. ۱۰۵-۱۲۴.

اسلامیان، س.، قاسمی، م. و سلطانی گرد فرامرزی، س.، ۱۳۹۱، محاسبه و ناحیه‌بندی شاخص‌های جریان کم و تعیین دوره‌های خشکسالی هیدرولوژیک (مطالعه موردی: حوضه آبخیز کرخه)، مجله علوم و فنون کشاورزی و منابع طبیعی، علوم آب و خاک، سال ۱۶، شماره ۵۹، صص. ۱۴-۱.

باعقیده، م.، علیخانی، ب. و ضیائیان، پ.، ۱۳۹۰، بررسی امکان استفاده از شاخص پوشش‌گیاهی NDVI در تحلیل خشکسالی‌های استان اصفهان، مجله مطالعات جغرافیایی مناطق خشک، سال اول، شماره چهارم، صص. ۱-۱۶.

پرویز، ل.، خلقی، م.، ولیزاده، خ.، عراقی نژاد، ش. و ایران نژاد، پ.، ۱۳۹۰، بررسی کارایی شاخص‌های

- علمی-پژوهشی اطلاعات جغرافیایی (سپهر)، سال ۲۵، شماره ۱۰۰، صص. ۴۴-۳۶.
- فاتحی مرج، ا. و حیدریان، س. ا.، ۱۳۹۲، بررسی خشکسالی هواشناسی، کشاورزی و هیدرولوژی با استفاده از GIS در استان خوزستان، علوم و مهندسی آبخیزداری ایران، سال ۲۳، شماره ۷، صص. ۱۹-۳۲.
- فضل دهکردی، ل.، سهراei، ط. و محمودی کهن، ف.، ۱۳۹۴، پایش خشکسالی با استفاده از تصاویر مودیس در مناطق خشک (مطالعه موردی: مراعع استان یزد)، نشریه مهندسی اکوسيستم بیابان، سال چهارم، شماره ۹، صص. ۵۷-۷۰.
- فضل دهکردی، ل.، آذرینوند، ح.، زارع چاهوکی، م.ع.، محمودی کهن، ف. و خلیلی سیگارودی، ش.، ۱۳۹۵، پایش خشکسالی با استفاده از شاخص پوشش گیاهی NDVI (مطالعه موردی: مرتع استان ایلام)، مرتع و آبخیزداری، مجله منابع طبیعی ایران. سال ۶۹، شماره ۱، صص. ۱۴۱-۱۵۴.
- قاسمی، م.، اسلامیان، س.س. و سلطانی، س.، ۱۳۸۷، ناحیه‌بندی و پایش خشکسالی هواشناسی در حوزه آبخیز کرخه با استفاده از شاخص‌های بارش استاندارد و دهک‌های بارندگی، پژوهش کشاورز: آب، خاک و گیاه در کشاورزی، سال ۸، شماره سوم، صص. ۳۵-۲۳.
- مساعدي، ا.، خلیلی‌زاده، م. و محمدی استادکلايه، ا.، ۱۳۸۷، پایش خشکسالی هواشناسی در سطح استان گلستان، مجله علوم کشاورزی و منابع طبیعی، سال ۱۵، شماره ۲، صص. ۸-۱.
- مصطفري، غ.ا. و نارنگي‌فرد، م.، ۱۳۹۴، تأثير خشکسالی بر روند پوشش گیاهی حوضه‌ی آبخیز سد ملاصدرا و کاربرد فنون سنجش از دور برای پایش آن، مجله مهندسی منابع آب، سال ۸، شماره ۱۴، صص. ۱-۲۶.
- مهندوي، م.، ۱۳۸۹، هیدرولوژي کاربردي. جلد اول.
- وضعیت پوشش گیاهی، نشریه دانش و خاک، سال ۲۵، شماره ۱، صص. ۱۱۳-۱۲۳.
- رضایی مقدم، م.ح.، ولی‌زاده، ک.خ.، رستم‌زاده، م. و رضایی، ا.، ۱۳۹۱، ارزیابی کارایی داده‌های سنجنده مودیس در برآورد خشکسالی (مطالعه موردی: حوضه آبریز دریاچه ارومیه)، جغرافیا و پایداری محیط (پژوهشنامه جغرافیایی)، سال دوم، شماره پنجم، صص. ۳۷-۵۲.
- زمانیان، م.ت.، بهیار، م.ب.، کریمی‌حسینی، ا. و وظیفه دوست. م.، ۱۳۹۱، پایش و تحلیل خشکسالی کشاورزی با استفاده از تولیدات ماهواره‌ای سنجنده NOAA-AVHRR، نشریه پژوهش‌های اقلیم‌شناسی، سال سوم، شماره ۹، صص. ۴۳-۵۴.
- سازمان مدیریت منابع آب ایران (تماب)، ۱۳۹۷، سرابی، س.، حشمت‌پور، ع.، کمکی، ج.ب. و طهماسبی، ا.، ۱۳۹۴، ارزیابی ارتباط میان شاخص‌های گیاهی سنجنده MODIS و خشکسالی مراتع شمالی استان گلستان، فصلنامه علمی-پژوهشی تحقیقات مرتع و بیابان ایران، سال ۲۲، شماره ۲، صص. ۳۹۲-۴۰۵.
- شفیعی، م. و رایینی سرجاز، م.، ۱۳۹۵، ارزیابی اثرات خشکسالی هواشناسی و روند ترسالی در سطح دریاچه پریشان، پژوهشنامه مدیریت حوضه آبخیز، سال ششم، شماره ۱۲، صص. ۱۲۱-۱۱۸.
- شمسمی‌پور، ا.ا.، علوی‌بنایه، س.ک. و محمدی، ح.، ۱۳۸۹، بررسی کارایی شاخص‌های گیاهی و حرارتی ماهواره NOAA-AVHRR در تحلیل خشکسالی منطقه کاشان، فصلنامه علمی-پژوهشی تحقیقات مرتع و بیابان ایران، سال ۱۷، شماره ۳، صص. ۴۴۵-۴۶۵.
- صفري شاد، م.، حبيب‌نژاد روشان، م. و ايذردمي، ع.ر.، ۱۳۹۴، ارزیابی شاخص NDVI در پایش خشکسالی به کمک تکنيک سنجش از دور (مطالعه موردی: استان اصفهان)، فصلنامه

- province**, Australian Journal of Basic and Applied Sciences, 6(7): 255-259.
- Dutta, D., Kundu, A., Patel, N.R., Saha, S.K. Siddiqui, A.R. 2015, **Assessment of agricultural drought in Rajasthan (India) using remote sensing derived Vegetation Condition Index (VCI) and Standardized Precipitation Index (ZSI)**, The Egyptian Journal of Remote Sensing and Space Sciences.18: 53–63.
- Funk, C. & Budd, M.E., 2009, **Phenologically-Tuned MODIS NDVI-based production normally estimates for Zimbabwe**, Remote Sensing of Environment,113 (1): 115-125.
- Ganesh, S., 2007, **Investigation of the utility of the vegetation condition index (VCI) as an indicator of drought (Unpublished doctoral dissertation)**, Texas A&M University, the USA.
- Gibbs, W.J. & Maher, J.V., 1967, **Rainfall deciles as drought indicators, bureau of meteorology bulletin**, commonwealth of Australia: Melbourne, 48: 29. 84.
- Heim, R.R., 2002, **A review of twentieth-century drought indices used in United States**, Bulletin of the American Meteorological Society 84: 1149-1165.
- Huete, A.R., Liu, H., Batchily, Q.K. & Van Leeuwen, W. J. D. A., 1997, **A Comparison of vegetation indices over a Global Set of TM Images for EOSMODIS**, Remote Sens Environ, 59: 440-451.
- Jain, V.K., Pandey, R.P., Jain, M.K. & Byun, H. R., 2015, **Comparison of drought indices for appraisal of drought characteristics in the Ken River Basin**, Weather and Climate Extremes, 8: 1–11.
- Karl, T.R. & Rebsame, W.E., 1984, **The identification of 10 to 20 year temperature and precipitation fluctuations in the contiguous U.S**, Journal of Climate and Applied Meteorology. 23: 950-966.
- McKee, T.B., Doesken, N.J. & Kleist, J.Y., 1995, **Drought monitoring with multiple time scales**, 9th Conference on Applied Climatology. American Meteorological Society: Dallas. TX. 233–236.
- انتشارات دانشگاه تهران. ۳۴۲ صفحه.
مؤذن‌زاده ، ر.، ارشد، ص، قهرمان، ب. و داوری، ک، ۱۳۹۱، پایش خشکسالی در کشت‌های غیرآبی با استفاده از تکنیک سنجش از دور، مدیریت آب و آبیاری، سال ۲، شماره ۲، صص. ۵۲-۳۹
میراحسنی، م.س، ماهینی، ع.ر.س، سفیانیان، ع.ر، مدرس، ر، جعفری، ر. و محمدی، ج، ۱۳۹۶، پایش خشکسالی منطقه‌ای حوضه آبخیز زایندرود براساس تغییرات سری زمانی شاخص VCI سنجنده مودیس و شاخص ZSI، سال ۶، شماره ۲۴، صص، ۱-۲۲.
میرموسوی، س.ح، کریمی، ح، ۱۳۹۲، مطالعه اثر خشکسالی بر روی پوشش‌گیاهی با استفاده از تصاویر سنجنده MODIS (مطالعه موردی: استان کردستان)، جغرافیا و توسعه، سال ۱۱، شماره ۳۱، صص. ۷۶-۵۷
نیازی، ی، طالبی، ا، مختاری، م.ح، وظیفه‌دوست، م، ۱۳۹۵، ارزیابی یک شاخص خشکسالی ترکیبی جدید مبتنی بر داده‌های سنجش از دوری (RCDI) در محدوده ایران مرکزی، اکوهیدرولوژی، سال سوم، شماره ۱، صص. ۴۳-۳۱
وزارت نیرو، ۱۳۹۳، طرح جامع آب کشور حوضه آبخیز کرخه، انتشارات شرکت مهندسین مشاور جاماب.
Aulia, M.R., Liyantono, Setiawan, Y. & Fatikhunnada, A., 2016, **Drought detection of West Java's paddy field using MODIS EVI satellite images (case study: Rancaekek and Rancaekek Wetan)**, Procedia Environmental Sciences 33: 646 – 653.
- Byzedi, M. 2011, **Analysis of hydrological drought based on daily flow series**, World Academy of Science, Engineering and Technology 50: 491-496.
- Byzedi, M., Siosemardeh, M. Rahimi, A. Mohammadi, K., 2012, **Analysis of hydrological drought on Kurdistan**

- Mishra, A. & KSingh, V.P., 2010, **A review of drought concepts**, Journal of Hydrology. 391(1–2): 202–216.
- Palmer, W.C. 1965, **Meteorological drought**, research paper, US department of commerce, weather Bureau, Washington, DC, 45: 58.
- Paulo, A.A., Rosa, R.D. & Pereira, L.S., 2012, **Climate trends and behaviour of and drought indices based on precipitation evapotranZSIration in Portugal**, Nat. Natural Hazards and Earth System Sciences. 22:1421–1411.
- Roswintiarti, O., Oarwatiand, S. & Anggraini. N., 2010, **Potential drought monitoring over agriculture area in Java Island**, Indonesia, Indonesian National Institute of Aeronautics and Space (LAPAN), Progress Report of SAFE Prototype Year. 121-135.
- Salehnia, N., Alizadeg, A., Sanaeinejad, H., Bannayan, M., Zarrin, A. & Hoogenboom, G., 2017, **Estimation of meteorological drought indices based on AgMERRA precipitation data and station-observed precipitation data**, Journal of Arid Land. 9:797-809.
- Shakya, N. & Yamaguchi, Y., 2010, **Vegetation, water and thermal stress index for study of drought in Nepal and central Northeastern India**, International Journal of Remote Sensing. 31: 903–912.
- Szinell, C.S., Bussay, A. & Szentimrey, T., 1998, **Drought tendencies in Hungary**, International Journal of Climatology. 18: 1479–1491.
- Thenkabail, P.S, Gamage M.S.D.N. & Samakhtin, VU., 2002, **Evaluation of narrow band and broadband vegetation indices for determining optimal hyper-spectral wavebands for agricultural crop characterization**, Photogrammetric Engineering and Remote Sensing 68: 607–621.
- Tucker, C.J. 1979, **Red and photographic infrared linear combinations for monitoring vegetation**, Remote Sensing of Environment. 8(2): 127– 150.
- Wilhite, D.A., 2000, **Drought as a natural hazard**, In: Wilhite, D. A. (Editor), *drought: A global assessment*, Routledge, London. 1- 18.
- Wilhite, D.A., & Glantz, M.H., 1985, **Understanding the Drought Phenomenon: The Role of Definitions**, Water International Vol 10, No. 3, pp. 111–120.
- Winkler, K., Gessner, U. & Hochschild, V., 2017, **Identifying Droughts Affecting Agriculture in Africa Based on Remote Sensing Time Series between 2000–2016: Rainfall Anomalies and Vegetation Condition in the Context of ENSO**, Journal of Remote Sensing, 9: 831, 1-27.
- Wu, H., Hayes, M.J., Weiss, A. & Hu, Q., 2001, **An evaluation of the standardized precipitation index, the China-z index and the statistical zscore**, International Journal of Climatology. 21: 745–758.



سنجش از دور

، GIS ایران

سنجش از دور و GIS ایران سال یازدهم، شماره چهارم، زمستان ۱۳۹۸
Vol.11, No. 4, Winter 2020 Iranian Remote Sensing & GIS

29-46



Analysis of Performance of vegetation indices on agricultural drought using remote sensing technique in Karkheh basin

Karimi, M.*¹, Shahedi, K.², Raziei, T.³, Miryaghoubzadeh, M.⁴

1. Ph.D. Student of Watershed Management, Department of Watershed Management, University of Agricultural Sciences and Natural Resources, Sari, Iran
2. Associate Prof., Department of Watershed Management, University of Agricultural Sciences and Natural Resources, Sari, Iran
3. Assistant Prof., Soil Conservation and Watershed Management Research Institute (SCWMRI), Agricultural Research, Education and Extension Organization (AREO), Tehran, Iran
4. Assistant Prof., Department of Rangeland and Watershed Management, University of Urmia, Iran

Abstract

Drought is one of the natural disasters that may occur in any climate. In recent decades, Iran has been affected by severe droughts and its harmful effects in various sectors, such as agriculture, environment and water resources of the country. Today, vegetation indices, which are obtained through remote sensing technology, are used to identify and analyze agricultural droughts. Accordingly, the aim of this study was to investigate the effectiveness of NDVI, EVI and VCI vegetation indices in agricultural drought identification and analysis in Karkheh basin. In order to calculate these indices, MODIS sensor Images (Terra satellite, MOD13A2 product) were used during the 2000-2017 statistical period. The accuracy of these profiles was evaluated with the ZSI index calculated at 11 meteorological stations located in Karkheh basin for the statistical period of 2000-2017. The results showed that the changes of NDVI, EVI and VCI in the studied stations were approximately the same during the statistical period. Based on NDVI, EVI and VCI values, the lowest and highest vegetation cover was observed in 2000, dehno station and 2001, helilan-seymareh station, respectively. The ZSI survey showed that most stations Faced with droughts from 2000 to 2008, and the most severe drought occurred in 2008, nazarabad station. Then, in order to validation of the results, the vegetation indices with ZSI index were evaluated. Pearson correlation between mean vegetation indices of NDVI, EVI and VCI with mean ZSI was 0.766, 0.725 and 0.776, respectively, and all vegetation indices with ZSI index are significant at 0.99% confidence level. As seen, according to the results, the ZSI index confirms the results of NDVI, EVI, and VCI. So, according to the results, there is no conformity of meteorological and agricultural droughts in all years, Therefore, in addition to other precipitation, climate variables should also be considered.

Keywords: Drought, NDVI, EVI and VCI, Karkheh basin

Correspondence Address: Watershed management Dept., Sari Agricultural Sciences and Natural Resources University. Tell: 09188337838
Email: karimi.mahshid88@gmail.com